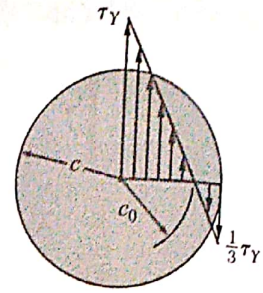


شکل ۴۶.۳ (ب)

(الف) نشان دهید که توزیع تنشهای برشی باقی‌مانده مطابق با مقدار گشتاور پیچشی مربوط به تنش وارد بر دایره‌ای به شعاع c است تعیین کنید.



شکل ۱۱۶.۳

تنش را در میل‌گردان دایره‌ای کشسان تعریف می‌کنند، نمی‌توان برای عضوهای غیر دایره‌ای استفاده کرد. برای مثال، این فرض که تنش برشی در سطح مقطع میله مربع شکل به‌طور خطی نسبت به فاصله از محور میله تغییر می‌کند، و بنابراین در گوشه‌های سطح مقطع بزرگترین مقدار را دارد، غلط است. چنانکه خواهیم دید، در واقع تنش برشی در این نقاط صفر است.

جزء مکعبی کوچکی را در گوشه سطح مقطع میله مربع شکلی در نظر بگیرید که تحت پیچش قرار دارد و محورهای مختصات را موازی با لبه‌های این جزء انتخاب کنید (شکل ۴۶.۳ (الف)). از آنجا که آن وجه از جزء که عمود بر محور z است بخشی از سطح آزاد میله است، همه تنشها روی این وجه باید صفر باشند. با توجه به شکل ۴۶.۳ (ب)، می‌نویسیم

$$\tau_{yx} = 0 \quad \tau_{yz} = 0 \quad (40.3)$$

به همین دلیل، تنشهای موجود روی آن وجه که عمود بر محور z است، باید صفر باشند. می‌نویسیم

$$\tau_{zx} = 0 \quad \tau_{zy} = 0 \quad (41.3)$$

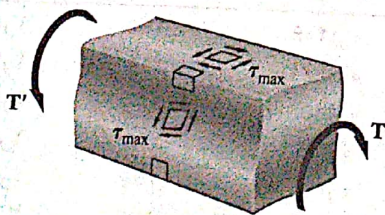
از معادله اول (۴۰.۳) و (۴۱.۳) چنین نتیجه می‌شود که

$$\tau_{xy} = 0 \quad \tau_{xz} = 0 \quad (42.3)$$

پس، هر دو مؤلفه تنش برشی روی آن وجه از این جزء که عمود بر محور میله است، برابر صفرند. نتیجه گرفته می‌شود که در گوشه‌های سطح مقطع میله هیچ‌گونه تنش برشی وجود ندارد.

با پیچاندن مدل لاستیکی میله مربعی، به آسانی می‌توان ثابت کرد که هیچ تغییر شکلی، و بنابراین هیچ تنش، در امتداد یالهای میله ایجاد نمی‌شود، در حالی که بزرگترین تغییر شکلها، و بزرگترین تنشها، در امتداد خط مرکزی هر یک از وجوه میله ایجاد می‌شوند (شکل ۴۷.۳).

تعیین تنشها در عضوهای غیر دایره‌ای که تحت بارگذاری پیچشی قرار دارند، از حدود بحث این کتاب خارج است. اما، نتایج به‌دست آمده از نظریه ریاضی کشسانی برای میله‌های راست با سطح مقطع مستطیلی یکنواخت در اینجا نشان داده می‌شوند. اگر L طول میله، a و b به ترتیب طول و عرض سطح مقطع، و T گشتاور پیچشی وارد بر میله باشد (شکل ۴۸.۳)، معلوم می‌شود که



شکل ۴۷.۳

۱۱۷.۳ پس از اینکه میل‌گردان توخالی مسئله ۱۱۳.۳ بارگذاری و سپس بارگذاری شد، چنانکه در مسئله بیان شده، یک گشتاور پیچشی T_1 در جهت خلاف گشتاور پیچشی اولیه به مقدار T بر میل‌گردان وارد می‌کنند. با فرض اینکه تغییری در مقدار τ_{ϕ} به وجود نیاید، مطلوب است مقدار T_1 از گشتاور پیچشی T_1 لازم برای تسلیم اولیه در بارگذاری دوم، و مقایسه آن با مقدار T_{ϕ} از گشتاور پیچشی T ناشی از میل‌گردان برای تسلیم در بارگذاری اولیه.

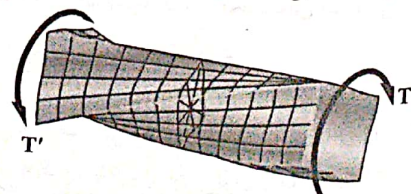
۱۱۸.۳ پس از اینکه محور توپر مسئله ۱۱۴.۳ بارگذاری و باربرداری شد چنانکه در مسئله بیان شده، گشتاور پیچشی T_1 در جهت مخالف گشتاور پیچشی اولیه T بر میل‌گردان وارد می‌شود. با فرض اینکه تغییری در مقدار ϕ_{ϕ} ندهد، مطلوب است زاویه پیچش ϕ_1 را برای اینکه تسلیم بارگذاری اولیه در بارگذاری ثانوی انجام شود، و آن را با زاویه ϕ_{ϕ} برای اینکه میل‌گردان شروع به تسلیم در بارگذاری اولیه نماید مقایسه کنید.

۱۲.۳ پیچش عضوهای غیر دایره‌ای

فرضیه‌هایی که در بخشهای ۳.۳ و ۴.۳ برای توزیعهای کرنش و تنش تحت بارگذاری پیچشی به‌دست آمدند، فقط برای عضوهایی با سطح مقطع دایره‌ای صادقند. درحقیقت، استخراج آنها براساس این فرض بود که سطح مقطع عضو به‌صورت صفحه باقی می‌ماند، و تابیدگی در آن ایجاد نمی‌شود، و در بخش ۳.۳ دیدیم که اعتبار این فرض بستگی به تقارن محوری عضو دارد، یعنی به این حقیقت بستگی دارد که وقتی از نقطه ثابتی به آن نگاه می‌شود و در آن حال حول محورش به‌اندازه زاویه دلخواهی چرخانده می‌شود، شکل ظاهری آن تغییر نمی‌کند.

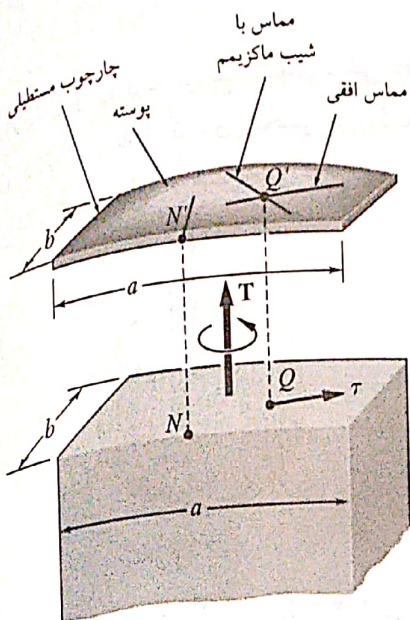
اما از سوی دیگر، میله مربع شکل فقط وقتی که به‌اندازه زاویه 90° یا 180° چرخانده شود، شکل ظاهری یکسانی را حفظ می‌کند. با دنبال کردن استدلالی مشابه با آنچه در بخش ۳.۳ به‌کار برده شد، می‌توان نشان داد که قطرهای سطح مقطع مربع شکل میله و خطوط واصل نقاط وسط اضلاع آن مقطع، مستقیم باقی می‌مانند (شکل ۴۵.۳). اما به‌علت اینکه میله تقارن محوری ندارد، هر خط دیگری که روی سطح مقطع آن رسم شود هنگام پیچاندن تغییر شکل می‌یابد، و خود سطح مقطع نیز از صفحه اولیه اش منحرف می‌شود.

نتیجه می‌گیریم که از معادله‌های (۴۰.۳) و (۴۱.۳) که به ترتیب توزیع کرنش و

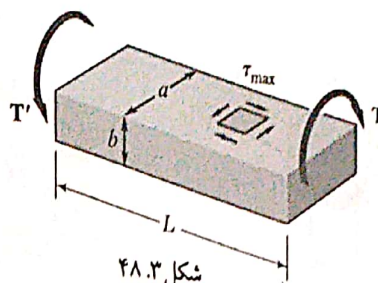


شکل ۴۵.۳

۱. رجوع کنید به:



شکل ۴۹.۳



شکل ۴۸.۳

تنش برشی ماکزیمم در امتداد خط مرکزی وجه پهن تر میله ایجاد شود، که از رابطه زیر معین می شود

$$\tau_{max} = \frac{T}{c_1 ab^2} \quad (۴۳.۳)$$

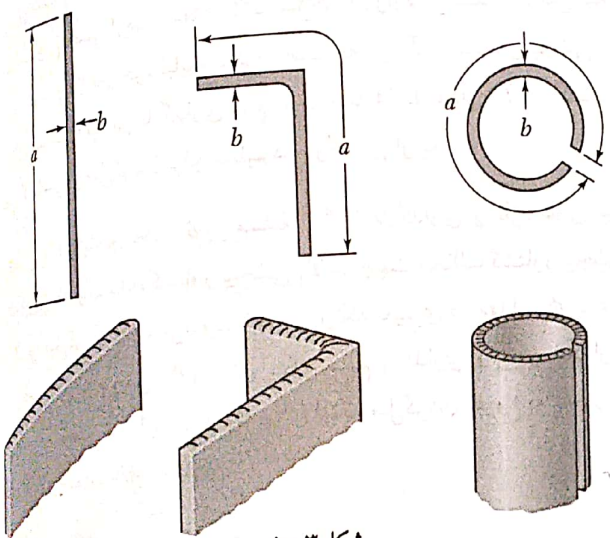
از طرف دیگر، زاویه پیچش را می توان چنین بیان کرد

$$\phi = \frac{TL}{c_1 ab^3 G} \quad (۴۴.۳)$$

ضرایب c_1 و c_2 تنها بستگی به نسبت a/b دارند و در جدول ۱.۳ نشان داده شده اند. توجه کنید که معادله های (۴۳.۳) و (۴۴.۳) تنها در محدوده کشسان معتبرند. از جدول ۱.۳ می دانیم که به ازای $a/b \geq 5$ ضرایب c_1 و c_2 مساوی اند. می توانیم نشان دهیم که به ازای این مقادیر a/b ، داریم

$$c_1 = c_2 = \frac{1}{3} (1 - 0.630 b/a) \quad (a/b \geq 5) \quad (۴۵.۳)$$

توزیع تنشهای برشی در عضو غیر دایره ای را می توان به طور آسانتر با استفاده از روش قیاس پوسته ای نشان داد. پوسته کشسان همگن متصل به قاب ثابتی که فشاری یکنواخت بر یکی از دو طرف آن وارد می شود، میله در حالت پیچش را شبیه سازی می کند؛ یعنی تعیین تغییر شکل پوسته بستگی به حل همان معادله دیفرانسیل با مشتقات جزئی دارد که در تعیین تنشهای برشی در میله باید حل شود. به طور مشخصتر، اگر Q نقطه ای از سطح مقطع میله و Q' نقطه متناظر پوسته باشد (شکل ۴۹.۳)، جهت تنش برشی τ در نقطه Q در همان جهت خط مماس افقی بر پوسته در نقطه Q' ، و مقدار آن متناسب با ماکزیمم شیب پوسته در نقطه Q' خواهد بود. علاوه بر این، گشتاور پیچشی وارد شده، متناسب با حجم محدود بین پوسته و صفحه قاب ثابت است. در مورد پوسته شکل ۴۹.۳، که متصل به قابی مستطیلی است، بیشترین شیب در نقطه N' وسط ضلع بزرگتر قاب وجود دارد. پس، ثابت می شود که تنش برشی ماکزیمم در میله ای با سطح مقطع مستطیلی در نقطه N وسط ضلع بزرگتر ایجاد می شود.



شکل ۵۰.۳

قیاس پوسته ای را به همین خوبی می توان برای تجسم تنشهای برشی موجود در هرگونه میله راست با سطح مقطع یکنواخت و غیر دایره ای نیز به کار برد. به طور خاص، چندین عضو جدار نازک با سطح مقطعی مطابق شکل ۵۰.۳ را در نظر می گیریم، که تحت گشتاور پیچشی یکسانی قرار دارند. با استفاده از روش قیاس پوسته ای برای کمک به تجسم تنشهای برشی، می بینیم که چون گشتاور پیچشی یکسانی بر هر یک از اعضا وارد می شود، حجم زیر هر عضو یکسان است، و شیب ماکزیمم نیز در تمام آنها تقریباً یکسان است. بنابراین نتیجه می گیریم که برای عضوهای جدار نازک با ضخامتی یکنواخت و شکلی دلخواه، تنش برشی ماکزیمم مانند حالت میله مستطیلی با نسبت خیلی بزرگ a/b است. و می توان آن را از معادله (۴۳.۳) با مقدار $c_1 = 0.333$ تعیین کرد.^۱

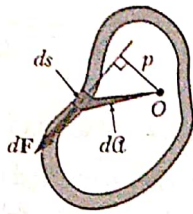
۱۳.۳* میل گردانهای توخالی جدار نازک

در بخش گذشته دیدیم که تعیین تنش در عضوهای غیر دایره ای به طور کلی احتیاج به کاربرد روشهای پیشرفته ریاضی دارد. اما، در مورد میل گردانهای غیر دایره ای توخالی جدار نازک، با محاسبه ای ساده می توان تقریب خوبی از توزیع تنشها در میل گردان به دست آورد.

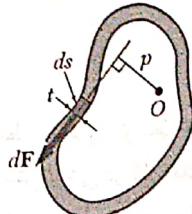
۱. این شیب در جهت عمود بر خط مماس افقی در نقطه Q' اندازه گیری شده است.
 ۲. می توان نشان داد که زاویه پیچش را می توان از معادله (۴۴.۳) با $c_1 = 0.333$ به دست آورد.

جدول ۱.۳ ضرایب میله های مستطیلی در حالت پیچش

a/b	c_1	c_2
۱.۰	۰.۲۰۸	۰.۱۴۰۶
۱.۲	۰.۲۱۹	۰.۱۶۶۱
۱.۵	۰.۲۳۱	۰.۱۹۵۸
۲.۰	۰.۲۴۶	۰.۲۲۹
۲.۵	۰.۲۵۸	۰.۲۴۹
۳.۰	۰.۲۶۷	۰.۲۶۳
۴.۰	۰.۲۸۲	۰.۲۸۱
۵.۰	۰.۲۹۱	۰.۲۹۱
۱۰.۰	۰.۳۱۲	۰.۳۱۲
∞	۰.۳۳۳	۰.۳۳۳



شکل ۵۶.۳



شکل ۵۵.۳

در اینجا می‌توان قیاسی را بین توزیع تنشهای برشی τ در مقطع عرضی میل‌گردان توخالی جدار نازک و توزیع سرعتهای v در آب جاری در مجرای بسته با عمق واحد و عرض متغیر مشاهده کرد. در حالی که سرعت v آب، به‌ناظر تغییر عرض t مجرا، از نقطه‌ای به نقطه دیگر تغییر می‌کند، آهنگ جریان (دبی)، $q = vt$ ، در سرتاسر مجرا ثابت باقی می‌ماند، درست مانند τt در معادله (۴۸.۳) که پیوسته ثابت است. به علت وجود چنین قیاس و تشابهی، حاصلضرب $q = \tau t$ را جریان برش در جداره میل‌گردان توخالی می‌نامند.

حال رابطه‌ای بین گشتاور پیچشی T وارد بر عضو توخالی و جریان برش q در جداره آن به دست می‌آوریم. جزء کوچکی از مقطع جدار به طول ds را در نظر می‌گیریم (شکل ۵۵.۳). مساحت این جزء برابر است با $dA = t ds$ و مقدار نیروی برشی dF وارد بر آن برابر است با

$$dF = \tau dA = \tau(t ds) = (\tau t) ds = q ds \quad (۴۹.۳)$$

گشتاور dM_O این نیرو حول نقطه اختیاری O در داخل فضای حفره‌ای عضو را می‌توان با ضرب کردن dF در فاصله عمودی p از نقطه O تا اثر خط نیروی dF به دست آورد. داریم

$$dM_O = p dF = p(q ds) = q(p ds) \quad (۵۰.۳)$$

ولی حاصلضرب $p ds$ برابر است با دو برابر مساحت dA مثلث هاشورخورده در شکل ۵۶.۳. بنابراین داریم

$$dM_O = q(2dA) \quad (۵۱.۳)$$

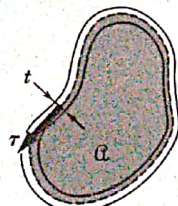
از آنجا که انتگرال سمت چپ معادله (۵۱.۳) در مقطع جداره نشان‌دهنده مجموع گشتاورهای همه نیروهای برشی بنیادی وارد بر مقطع جداره است، چون این مجموع برابر است با گشتاور پیچشی T وارد بر عضو توخالی، داریم

$$T = \oint dM_O = \oint q(2dA)$$

چون جریان برشی q مقداری است ثابت، می‌نویسیم

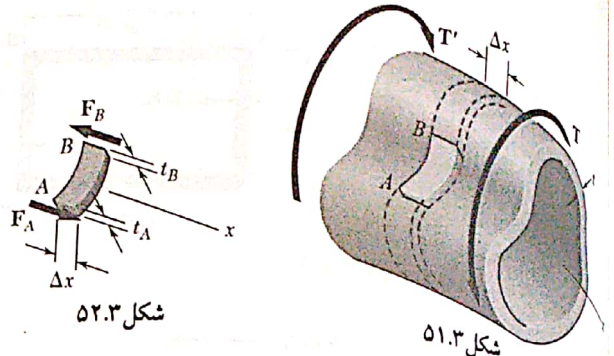
$$T = 2qA \quad (۵۲.۳)$$

که در آن، A ، سطح محصور توسط خط مرکزی سطح مقطع جداره است (شکل ۵۷.۳). تنش برشی τ در هر نقطه مفروض از جداره را می‌توان برحسب گشتاور پیچشی T بیان کرد، مشروط بر آنکه مقدار q را از رابطه (۴۸.۳) در رابطه (۵۲.۳) بگذاریم و معادله حاصل را برحسب τ حل کنیم. داریم



شکل ۵۷.۳

۱. جداره عضو باید یک حفره را ببندد و نباید دارای شکاف باز باشد. به عبارت دیگر، عضو از نظر توپولوژیک باید معادل با یک میل‌گردان دایره‌ای توخالی باشد.



شکل ۵۲.۳

شکل ۵۱.۳

عضو استوانه‌ای توخالی با سطح مقطع غیر دایره‌ای را در نظر بگیرید که تحت بارگذاری پیچشی قرار دارد (شکل ۵۱.۳).^۱ در حالی که ضخامت t جداره ممکن است در مقطع عرضی تغییر کند، فرض می‌شود که این ضخامت نسبت به سایر بعد عضو کوچک باقی بماند. حال قسمت هاشورزده جداره AB را که بین دو نقطه عرضی در فاصله Δx از یکدیگر، و دو صفحه طولی عمود بر جداره محدود است، از عضو مورد نظر جدا می‌کنیم. از آنجا که قسمت AB در حال تعادل است، مجموع نیروهای وارد بر آن در جهت طولی x باید برابر با صفر باشد (شکل ۵۲.۳). ولی تنها نیروهای موجود عبارت‌اند از نیروهای برشی F_A و F_B که بر دو انتهای قسمت AB وارد می‌شوند. بنابراین داریم

$$\sum F_x = 0 : F_A - F_B = 0 \quad (۴۶.۳)$$

اکنون F_A را به صورت حاصلضرب تنش برشی طولی τ_A روی وجه کوچک در نقطه A و مساحت $t_A \Delta x$ آن وجه، بیان می‌کنیم.

$$F_A = \tau_A(t_A \Delta x)$$

می‌بینیم که، در حالی که تنش برشی مستقل از مختصه x نقطه مورد نظر است، ممکن است در جداره تغییر کند؛ بنابراین τ_A نشان‌دهنده مقدار میانگین تنش محاسبه شده در جداره است. F_B را نیز به طریق مشابهی بیان می‌کنیم و با قراردادن F_A و F_B در معادله (۴۶.۳) می‌نویسیم

$$\tau_A(t_A \Delta x) - \tau_B(t_B \Delta x) = 0$$

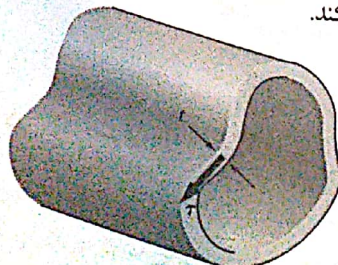
یا

$$\tau_A t_A = \tau_B t_B \quad (۴۷.۳)$$

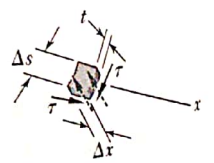
از آنجا که A و B به طور دلخواه انتخاب شده‌اند، معادله (۴۷.۳) بیان می‌کند که حاصلضرب τt تنش برشی طولی τ و ضخامت جداره t در سرتاسر عضو ثابت است. اگر این حاصلضرب را با q نشان دهیم، داریم

$$q = \tau t = \text{ثابت} \quad (۴۸.۳)$$

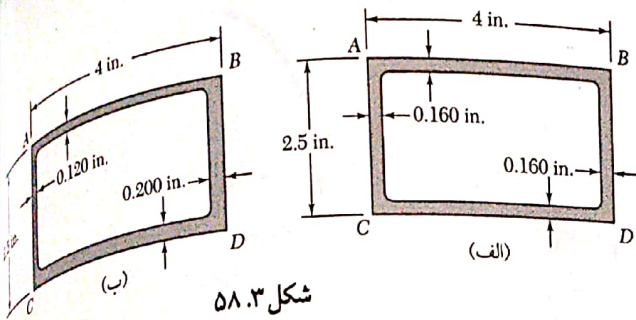
حال جزء کوچکی را از جداره قسمت AB جدا می‌کنیم (شکل ۵۳.۳). از آنجا که وجوه بالا و پایین این جزء بخشی از سطح آزاد عضو توخالی‌اند، مقدار تنش روی این وجوه برابر با صفر است. با یادآوری روابط (۲۱.۱) و (۲۲.۱) از بخش ۱۲.۱ چنین برمی‌آید که مؤلفه‌های تنش نشان داده شده روی وجوه دیگر با پیکانهای نقطه‌چین نیز برابر صفر هستند، در حالی که آنهایی که با پیکان خط‌پر نشان داده شده‌اند با یکدیگر برابرند. پس، تنش برشی در هر نقطه از مقطع عرضی عضو توخالی موازی با سطح جداره آن است (شکل ۵۴.۳)، و مقدار میانگین محاسبه شده آن در سرتاسر جداره، در معادله (۴۸.۳) صدق می‌کند.



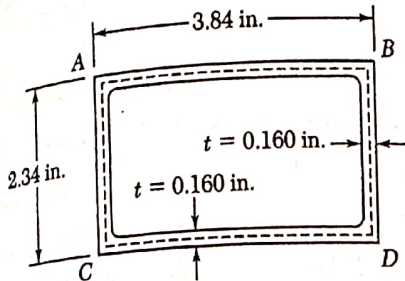
شکل ۵۴.۳



شکل ۵۳.۳



شکل ۵۸.۳



شکل ۵۹.۳

$$\tau = \frac{T}{\gamma t Q} \quad (53.3)$$

که در آن، t ضخامت جداره در نقطه مورد نظر و Q سطح محصور توسط خط مرکزی است. یادآوری می‌شود که τ مقدار میانگین تنش برشی در کل جدار است. اما، برای تغییر شکلهای کشسان، توزیع تنشها در جداره را می‌توان یکنواخت فرض کرد، و معادله (۵۳.۳) مقدار واقعی تنش برشی در نقطه‌ای مفروض از جداره را به دست می‌دهد.

زاویه پیچش میل گردان توخالی جدار نازک را می‌توان با استفاده از روش انرژی (فصل ۱۱) به دست آورد. با فرض تغییر شکل کشسان، می‌توان نشان داد که زاویه پیچش میل گردانی با جدار نازک به طول L و با مدول صلابت G برابر است با

$$\phi = \frac{TL}{4Q^2G} \oint \frac{ds}{t} \quad (54.3)$$

که انتگرال در طول خط مرکزی مقطع جداره محاسبه می‌شود.

مثال ۱۰.۳

لوله آلومینیومی ساختمانی با سطح مقطع مستطیلی 2.5×4 in باروش اکستروژن (روزن رانی) ساخته شده است. مطلوب است تنش برشی در هر یک از چهار جداره قسمتی از این لوله وقتی که گشتاور پیچشی $24 \text{ kip}\cdot\text{in}$ بر آن وارد می‌شود. فرض کنید که (الف) ضخامت جداره یکنواخت و برابر 0.160 in باشد [شکل ۵۸.۳]، (ب) در نتیجه نقص کار، ضخامت جداره‌های AB و AC برابر با 0.120 in و ضخامت جداره‌های CD و BD برابر با 0.200 in باشد [شکل ۵۸.۳] (ب).

● حل:

الف. لوله با ضخامت جدار یکنواخت. سطح محصور توسط خط مرکزی جدار (شکل ۵۹.۳) برابر است با

$$Q = (3.84 \text{ in})(2.34 \text{ in}) = 8.986 \text{ in}^2$$

از آنجا که ضخامت هر چهار جدار 0.160 in است، با استفاده از رابطه (۵۳.۳) تنش برشی در هر جدار را به دست می‌آوریم

$$\tau = \frac{T}{\gamma t Q} = \frac{24 \text{ kip}\cdot\text{in}}{2(0.160 \text{ in})(8.986 \text{ in}^2)} = 835 \text{ ksi}$$

ب. لوله با ضخامت جدار متغیر. مشاهده می‌شود که سطح Q محصور در خط مرکزی برابر با سطح مشابه در قسمت (الف) است. با قراردادن 0.120 in در 0.160 در معادله (۵۳.۳)، داریم

$$\tau_{AB} = \tau_{AC} = \frac{24 \text{ kip}\cdot\text{in}}{2(0.120 \text{ in})(8.986 \text{ in}^2)} = 1113 \text{ ksi}$$

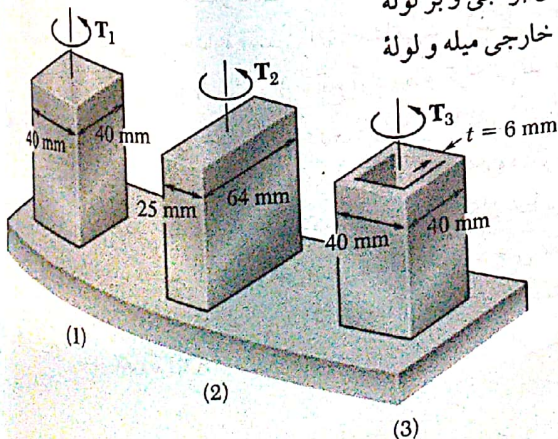
و

$$\tau_{BD} = \tau_{CD} = \frac{24 \text{ kip}\cdot\text{in}}{2(0.200 \text{ in})(8.986 \text{ in}^2)} = 668 \text{ ksi}$$

می‌بینیم که مقدار تنش در هر جدار معین فقط، بستگی به ضخامت آن دارد.

مسئله نمونه ۹.۳

با استفاده از $\tau_{all} = 40 \text{ MPa}$ ، معین کنید بزرگترین گشتاور پیچشی را که می‌توان بر هر یک از میله‌های برنجی و بر لوله برنجی مطابق شکل وارد کرد. توجه کنید که مساحت سطح مقطع دو میله توپر مساوی است، و ابعاد خارجی میله و لوله مربع شکل یکسان است.

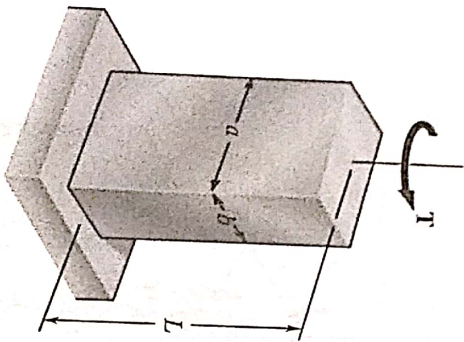


● حل:

۱. میله با سطح مقطع مربعی. برای میله‌ای توپر با سطح مقطع مستطیلی، تنش برشی ماکزیمم از معادله (۴۳.۳)

به دست می‌آید.

۱. مسئله ۷۰.۱۱ را ببینید.



$$\tau_{max} = \frac{T}{c_1 a b^2}$$

داریم

$$a = b = 0.040 \text{ m}$$

$$\frac{a}{b} = 1.00$$

$$c_1 = 0.204$$

داریم

$$\tau_{max} = \frac{T_1}{c_1 a b^2}$$

$$40 \text{ MPa} = \frac{T_1}{0.204 (0.040 \text{ m})^2}$$

$$T_1 = 533 \text{ Nm}$$

اینجا با سطح مقطع مستطیلی داریم

$$a = 0.064 \text{ m}$$

$$b = 0.025 \text{ m}$$

$$\frac{a}{b} = 2.56$$

$$c_1 = 0.259$$

از جدول ۱.۳ داریم:

$$\tau_{max} = \frac{T_1}{c_1 a b^2}$$

$$40 \text{ MPa} = \frac{T_1}{0.259 (0.064 \text{ m})(0.025 \text{ m})^2}$$

$$T_1 = 414 \text{ Nm}$$

از این مربع شکل در لوله‌ای به ضخامت t ، تنش برشی از معادله (۵.۳) محاسبه می‌شود

$$\tau = \frac{T}{2tQ}$$

در آن Q سطح محصور در خط مرکزی مقطع است. داریم

$$Q = (0.034 \text{ m})(0.034 \text{ m}) = 1.156 \times 10^{-3} \text{ m}^2$$

با بزرگترین مقادیر عددی $\tau = \tau_{all} = 40 \text{ MPa}$ و $t = 0.006 \text{ m}$ ، مقدار گشتاور پیچشی مجاز τ به دست می‌آید.

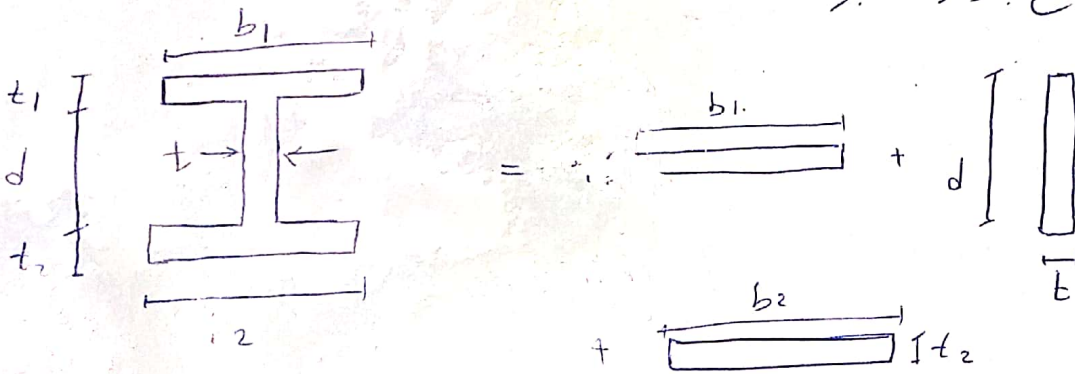
$$\tau = \frac{T}{2tQ}$$

$$40 \text{ MPa} = \frac{T_1}{2(0.006 \text{ m})(1.156 \times 10^{-3} \text{ m}^2)}$$

$$T_1 = 500 \text{ Nm}$$

برای $T = 200 \text{ Nm}$ و $G = 27 \text{ GPa}$ مقدار گشتاور پیچشی T نشان داده شده تنش برشی

بیشتر سطح جدا از یک بار:



$$b/t > 10 \rightarrow \tau_{max} = \frac{T}{\frac{1}{3} b t^2} \quad \phi = \frac{T L}{G \left(\frac{b t^3}{3} \right)}$$

$$J = \frac{1}{3} [b_1 t_1^3 + b_2 t_2^3 + d t^3] = J_{eq}$$

$$T_i = \frac{J_i}{J_{eq}} T \rightarrow \tau_{max} = \frac{T_i}{\frac{1}{3} b_i t_i^2}$$

$$T_i = \frac{\frac{1}{3} b_i t_i^3}{\frac{1}{3} (b_1 t_1^3 + b_2 t_2^3 + d t^3)} T \rightarrow \tau_{max} = \frac{\frac{1}{3} b_i t_i^3 / J_{eq} T}{\frac{1}{3} b_i t_i^2}$$

$$T = \frac{\frac{1}{3} d t^3}{J_{eq}} T$$

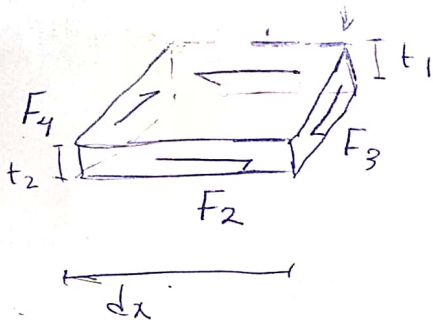
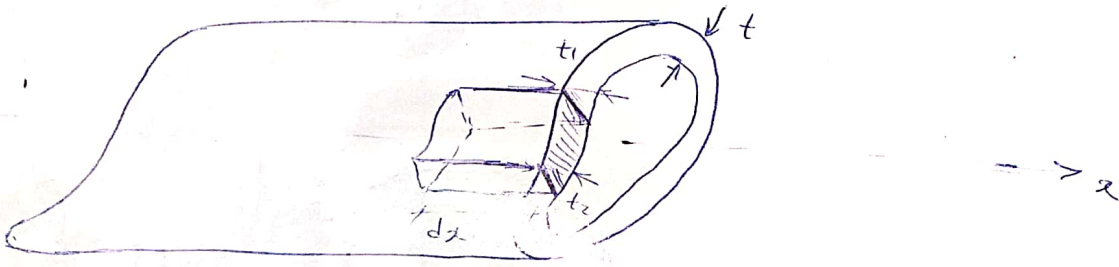
$$T_i = \frac{t_1}{J_{eq}} T$$

$$T_{max} = \frac{t}{J_{eq}} T$$

$$T_{max} = \frac{t_2}{J_{eq}} T$$

$$\tau_{max} = \max(\tau_{max_1}, \tau_{max_2}, \dots)$$

بسیار متناقص دور تا زک است:



$$F_1 = F_2$$

$$\tau_1 t_1 dx = \tau_2 t_2 dx$$

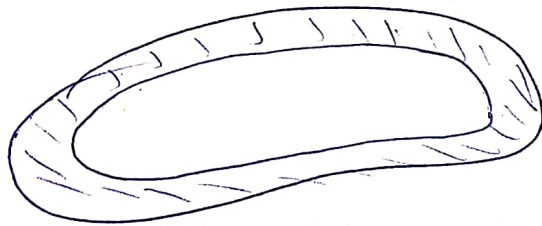
$$\rightarrow \tau_1 t_1 = \tau_2 t_2 = \dots = \tau t = q$$

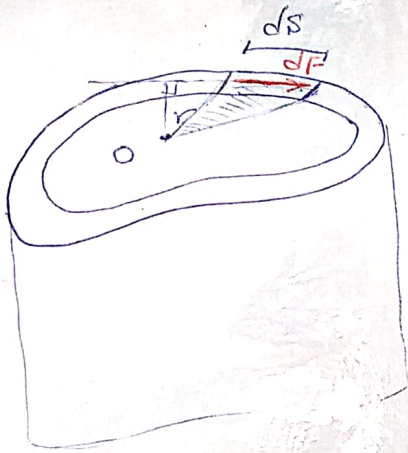
q جزایر است

عوض متناقص طولی را برداریم و در نتیجه تنش برشی در نقاط مختلف متناقص است

است. بیان جبران برشی داریم

$$q = \tau t \quad (N/m)$$





$$dF = \tau dA = \tau (t ds)$$

$$= \tau t ds = q ds$$

نقطه اختیاری

$$dT = r dF = r q ds$$

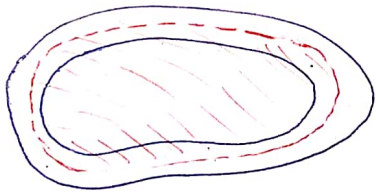
$$= q \times r ds$$

$$= q (2A)$$

صحت نیت حالت موجوده

$$T = \int q \times 2 dA = 2q \int dA = 2q(A)$$

مساحت محور در جهه ای بیانی مساحت = (A)



$$\rightarrow q = \frac{T}{2(A)}$$

$$T = 2qt$$

$$\rightarrow \tau = \frac{T}{2(A)t}$$

$$\phi = \frac{TL}{4(A)^2 G} \int \frac{ds}{t}$$

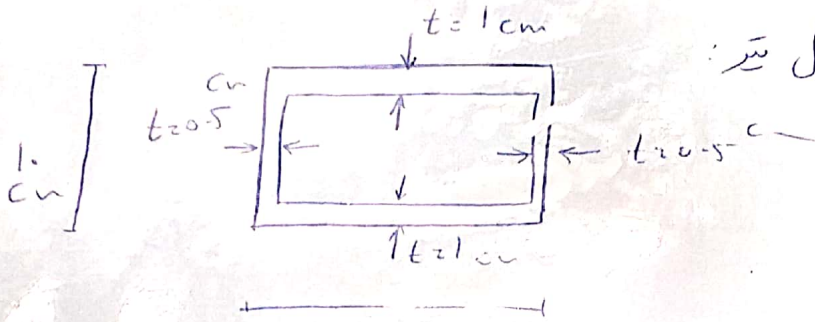
اندازه طول خط مرکزی جداره

زادیه بهیشتی

$$K_{\phi} = \frac{T}{\phi} = \frac{4(A)^2 G}{\int \frac{ds}{t}} \frac{L}{L}$$

تیری با سطح زیر فشار است تحت اثر گویل بیخشی $T = 0.3 \text{ ta.m}$ قرار دارد. مخلوط است.

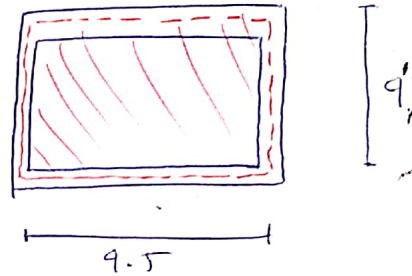
کش بیخشی با ضخیم و نازک بیخشی در طول تیر:



$$G = 0.83 \times 10^5 \frac{\text{kg}}{\text{cm}^2}$$

$$\tau = \frac{T}{2A_t} \quad , \quad q = \tau t$$

$$\begin{aligned} A &= [10 - 2 \times 0.5] [10 - 2 \times 1] \\ &= [9.5] \times 9 \\ &= 85.5 \text{ cm}^2 \end{aligned}$$



$$q = \frac{T}{2A} = \frac{0.3 \times 10^3 \times 10^2}{2 \times 85.5} = 175.439 \frac{\text{kg}}{\text{cm}}$$

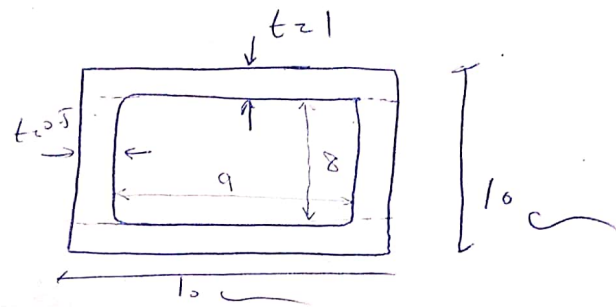
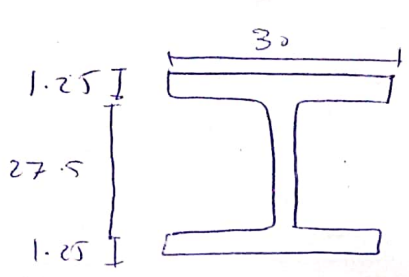
$$\left. \begin{array}{l} \tau_1 = \frac{q}{t_1} \\ t_1 = 0.5 \end{array} \right\} \rightarrow \tau_1 = \frac{175.439}{0.5} = 350.9 \frac{\text{kg}}{\text{cm}^2}$$

$$\left. \begin{array}{l} \tau_2 = \frac{q}{t_2} \\ t_2 = 1 \text{ cm} \end{array} \right\} \rightarrow \tau_2 = 175.439 \frac{\text{kg}}{\text{cm}^2}$$

$$\theta = \frac{\phi}{L} = \frac{T}{4A^2 G} \oint \frac{ds}{t}$$

$$\oint \frac{ds}{t} = 2 \times \frac{9.5}{1} + 2 \times \frac{9}{0.5} = 19 + 36 = 55$$

$$\theta = \frac{\phi}{L} = \frac{0.3 \times 10^5}{4 \times 85.5^2 \times 0.83 \times 10^5} \times 55 = 6.8 \times 10^{-5} \frac{\text{rad}}{\text{cm}} = 1.19 \times 10^{-6} \frac{\text{rad}}{\text{cm}}$$



$$\tau_{max} = 658 \frac{\text{kg}}{\text{cm}^2}$$

$$\theta = 6.8 \times 10^{-5} \text{ rad}$$

$$A = 2 \times 30 \times 1.25 + 27.5 \times 1.25$$

$$= 75 + 34.375$$

$$= 109.4 \text{ cm}^2$$

(ب)

$$\tau_{max} = 351 \frac{\text{kg}}{\text{cm}^2}$$

$$\theta = 6.35 \times 10^{-3} \text{ rad}$$

$$A = 100 - 72 = 28 \text{ cm}^2$$

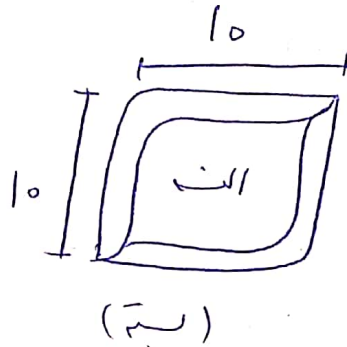
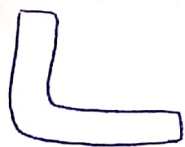
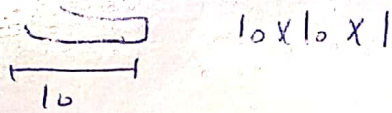
(الف)

قطع الف با کاربرد مصالح کمتر تحت اثر تنش بیشتر مکان در ستاب
 ؛ قطع (ب) تنش کمتری کمتر و زاویه منحرف کمتری را تحمل می کند
 مکان از کارایی مصالح بسته در ستاب با مصالح
 چهار برابر است

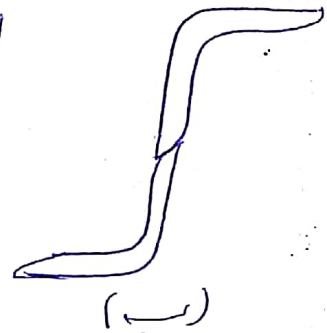
مثال: برای یک عضو تحت اثر لنگر پیوسته T، در مدل پهنی نمره ۱۰

مقاطع a, b, c را مشخص کنید

مبارک رحمتی در مقطع a با هم مقایسه کنید

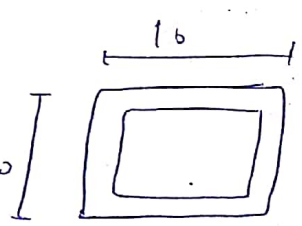


(الف)



(ب)

الف) $\tau = \frac{T}{2(A)t}$

$A = [10 - 2 \times 0.5] [10 - 2 \times 0.5] = 81$  $t = 1$

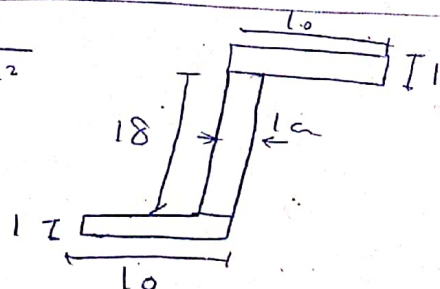
$\tau_{max} = \frac{T}{2 \times 81 \times 1} = \frac{T}{162}$

$\frac{\phi}{L} = \theta = \frac{T}{4(A)^2 G} \oint \frac{ds}{t} = \frac{T \times 36}{4 \times 81^2 \times G} = \frac{T}{G} \times \frac{36}{4 \times 81^2}$
 $\oint \frac{ds}{t} = 4 \times \frac{9}{1} = 36$
 $= \frac{T}{729 G}$

$\phi = \frac{TL}{729 G}$, $\tau = \frac{T}{162}$

ب) $\tau = \frac{T}{\frac{1}{3} \sum b t^2}$

$\tau = \frac{T}{13}$

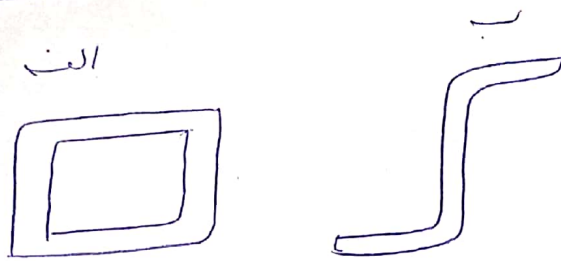


$\frac{1}{3} \sum b t^2 = \frac{1}{3} [2 \times 10 \times 1 + 18 \times 1] = \frac{38}{3} \approx 13$

$$\theta = \frac{\phi}{L} = \frac{T}{\frac{1}{3} \sum bt^3}$$

$$J = \frac{1}{3} \sum bt^3 = \frac{1}{3} [2 \times 10 \times 1^3 + 18 \times 1^3] = \frac{38}{3} \approx 13$$

$$\phi = \frac{TL}{3G}$$



$$\tau_1 = \frac{T}{162}$$

$$\tau_2 = \frac{T}{13}$$

$$\frac{\tau_2}{\tau_1} = 13$$

$$\phi_1 = \frac{TL}{729G}$$

$$\phi_2 = \frac{TL}{13G}$$

$$\frac{\phi_2}{\phi_1} = 56$$

مشغول است که مقاطع بسته در مقابل به هم بیشتر مهارت در مهارت

بیشتری دارند.